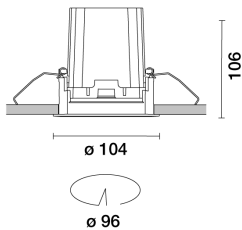


Letzte Aktualisierung der Informationen: April 2025

Produktkonfiguration: RA22.01

RA22.01: Runde, starre Einbauleuchte- LED - Wideflood - Super Comfort - 17W 2056.6lm - 3500K - CRI 90 - weiss



Produktcode

RA22.01: Runde, starre Einbauleuchte- LED - Wideflood - Super Comfort - 17W 2056.6lm - 3500K - CRI 90 - weiss

Beschreibung

Runde Einbauleuchte mit Falzrahmen. Starre Super Comfort-Version: Die sehr zurückgesetzte Position des LED-Moduls minimiert die Blendwirkung und ermöglicht einen hohen Lichtkomfort. Der Hauptkorpus aus Aluminiumdruckguss weist eine strahlende Oberfläche auf, die eine optimale Wärmeableitung garantiert. Hochleistungsreflektor aus metallisiertem Thermoplast mit WideFlood-Optik. Struktur mit äußerem Falzrahmen aus Aluminiumdruckguss, mit weißer Lackierung überzogen. Ring im Inneren aus Thermoplast, erhältlich in verschiedenen lackierten oder metallbeschichteten Ausführungen. Schutzglas inbegriffen. Einfacher und schneller Zusammenbau ohne Werkzeug. LED 3500K mit hohem Farbwiedergabe-Index. Versorgungseinheit mit getrenntem Code verfügbar.

Installation

Zum Einbau mittels Stahldraht-Federn mit Herabfallschutzsystem in abgehängte Decken mit einer Mindestdicke 1 mm - Einbauöffnung Ø 96 mm

Farben

Weiß (01)

Gewicht (Kg)

0.38

Montage

Wandeinbauleuchte|Deckeneinbauleuchte

Verkabelung

Konstantstromversorgungseinheiten mit getrenntem Code verfügbar. ON-OFF / dimmbar 1-10V / dimmbar DALI / dimmbar mit Phasenanschnitt - die Einbauleuchte wird mit Kabel und Schnellanschluss geliefert, die an den mitgelieferten Steckverbinder an der Versorgungseinheit anzuschließen sind.

Anmerkungen

Es ist eine breite Palette an dekorativem und Blendschutz-Zubehör erhältlich.

Gemäß der Normen EN60598-1 u. Sondernormen



IP20

IP44

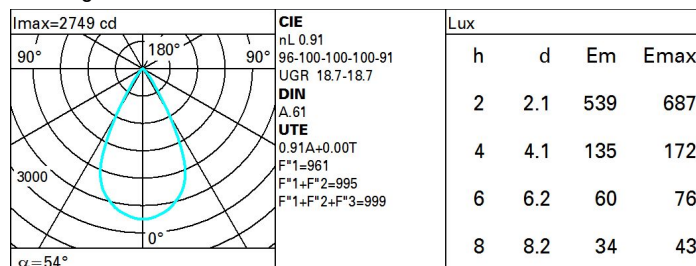
on the visible part of the product once installed



Technische Daten

| | | | |
|---|------|-----------------------------------|---------------------------------|
| Im System: | 2057 | CRI (minimum): | 90 |
| W System: | 17 | Farbtemperatur [K]: | 3500 |
| Im Lichtquelle: | 2260 | MacAdam Step: | 2 |
| W Lichtquelle: | 17 | Lebensdauer LED 1: | > 50,000h - L90 - B10 (Ta 25°C) |
| Lichtausbeute (lm/W, Systemwert): | 121 | Lampencode: | LED |
| Im im Notlichtbetrieb: | - | Anzahl Lampen in Leuchtengehäuse: | 1 |
| abgegebener Lichtstrom bei/ über einem Winkel von 90° [lm]: | 0 | ZVEI-Code: | LED |
| Leuchtenbetriebswirkungsgrad 91 (L.O.R.) [%]: | | Anzahl Leuchtengehäuse: | 1 |
| Abstrahlwinkel [°]: | 54° | LED Strom [mA]: | 500 |

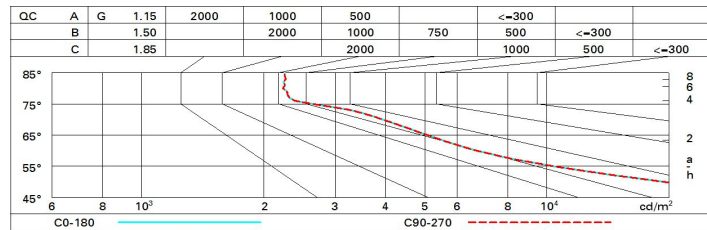
Polardiagramm



Wirkungsgrad

| R | 77 | 75 | 73 | 71 | 55 | 53 | 33 | 00 | DRR |
|------|----|----|----|----|----|----|----|----|-----|
| K0.8 | 81 | 76 | 73 | 70 | 75 | 72 | 72 | 69 | 76 |
| 1.0 | 84 | 80 | 77 | 75 | 79 | 77 | 76 | 73 | 80 |
| 1.5 | 89 | 86 | 84 | 82 | 85 | 83 | 82 | 79 | 87 |
| 2.0 | 92 | 90 | 88 | 86 | 89 | 87 | 86 | 83 | 92 |
| 2.5 | 94 | 92 | 91 | 90 | 91 | 90 | 89 | 86 | 95 |
| 3.0 | 95 | 94 | 93 | 92 | 92 | 91 | 90 | 88 | 97 |
| 4.0 | 96 | 95 | 95 | 94 | 94 | 93 | 92 | 90 | 98 |
| 5.0 | 97 | 96 | 96 | 95 | 95 | 94 | 93 | 90 | 99 |

Söller-Diagramm



UGR-Diagramm

| Corrected UGR values (at 2260 lm bare lamp luminous flux) | | | | | | | | | | | |
|--|------|---------------------|------|------|------|------|-------------------|------|------|------|------|
| Reflect.: ceiling/cav walls work pl. Room dim x y | | viewed crosswise | | | | | viewed endwise | | | | |
| | | 0.70 | 0.70 | 0.50 | 0.50 | 0.30 | 0.70 | 0.70 | 0.50 | 0.50 | 0.30 |
| | | 0.50 | 0.30 | 0.50 | 0.30 | 0.30 | 0.50 | 0.30 | 0.50 | 0.30 | 0.30 |
| | | 0.20 | 0.20 | 0.20 | 0.20 | 0.20 | 0.20 | 0.20 | 0.20 | 0.20 | 0.20 |
| | | | | | | | | | | | |
| 2H | 2H | 19.2 | 19.8 | 19.4 | 20.0 | 20.2 | 19.2 | 19.8 | 19.4 | 20.0 | 20.2 |
| | 3H | 19.1 | 19.6 | 19.4 | 19.9 | 20.2 | 19.0 | 19.6 | 19.4 | 19.9 | 20.1 |
| | 4H | 19.0 | 19.5 | 19.3 | 19.8 | 20.1 | 19.0 | 19.5 | 19.3 | 19.8 | 20.1 |
| | 6H | 18.9 | 19.4 | 19.3 | 19.7 | 20.0 | 18.9 | 19.4 | 19.3 | 19.7 | 20.0 |
| | 8H | 18.9 | 19.3 | 19.3 | 19.7 | 20.0 | 18.9 | 19.3 | 19.2 | 19.7 | 20.0 |
| | 12H | 18.9 | 19.3 | 19.2 | 19.6 | 20.0 | 18.8 | 19.3 | 19.2 | 19.6 | 20.0 |
| | | | | | | | | | | | |
| 4H | 2H | 19.0 | 19.5 | 19.3 | 19.8 | 20.1 | 19.0 | 19.5 | 19.3 | 19.8 | 20.1 |
| | 3H | 18.9 | 19.3 | 19.3 | 19.7 | 20.0 | 18.9 | 19.3 | 19.3 | 19.7 | 20.0 |
| | 4H | 18.8 | 19.2 | 19.2 | 19.6 | 19.9 | 18.8 | 19.2 | 19.2 | 19.6 | 19.9 |
| | 6H | 18.7 | 19.1 | 19.2 | 19.5 | 19.9 | 18.7 | 19.1 | 19.2 | 19.5 | 19.9 |
| | 8H | 18.7 | 19.0 | 19.1 | 19.4 | 19.8 | 18.7 | 19.0 | 19.1 | 19.4 | 19.8 |
| | 12H | 18.6 | 18.9 | 19.1 | 19.4 | 19.8 | 18.6 | 18.9 | 19.1 | 19.3 | 19.8 |
| | | | | | | | | | | | |
| 8H | 4H | 18.7 | 19.0 | 19.1 | 19.4 | 19.8 | 18.7 | 19.0 | 19.1 | 19.4 | 19.8 |
| | 6H | 18.6 | 18.9 | 19.1 | 19.3 | 19.8 | 18.6 | 18.9 | 19.1 | 19.3 | 19.8 |
| | 8H | 18.6 | 18.8 | 19.0 | 19.2 | 19.7 | 18.6 | 18.8 | 19.0 | 19.2 | 19.7 |
| | 12H | 18.5 | 18.7 | 19.0 | 19.2 | 19.7 | 18.5 | 18.7 | 19.0 | 19.2 | 19.7 |
| | | | | | | | | | | | |
| 12H | 4H | 18.6 | 18.9 | 19.1 | 19.3 | 19.8 | 18.6 | 18.9 | 19.1 | 19.4 | 19.8 |
| | 6H | 18.6 | 18.8 | 19.0 | 19.2 | 19.7 | 18.6 | 18.8 | 19.0 | 19.2 | 19.7 |
| | 8H | 18.5 | 18.7 | 19.0 | 19.2 | 19.7 | 18.5 | 18.7 | 19.0 | 19.2 | 19.7 |
| | | | | | | | | | | | |
| Variations with the observer position at spacing: | | | | | | | | | | | |
| S = | 1.0H | 4.7 / -7.9 | | | | | 4.7 / -7.9 | | | | |
| | 1.5H | 7.4 / -9.8 | | | | | 7.4 / -9.8 | | | | |
| | 2.0H | 9.4 / -10.5 | | | | | 9.4 / -10.5 | | | | |